

*С. И. Воронков, Л. Я. Каширов, Д. З. Сафаниев*

## ИЗМЕРЕНИЕ ДИНАМИЧЕСКИХ ТЕПЛОВЫХ ПОТОКОВ ДАТЧИКАМИ С ЧУВСТВИТЕЛЬНЫМ ЭЛЕМЕНТОМ НА ПОВЕРХНОСТИ

Предложен новый алгоритм обработки результатов прямых измерений, позволяющий изменить требования к конструкции датчика. Разработана автоматизированная система измерения импульсных тепловых потоков в процессах воспламенения и горения конденсированных веществ.

Успехи в исследовании процессов импульсного выделения тепла в первую очередь определяются совершенствованием приборно-методического обеспечения средств измерений быстроизменяющихся тепловых потоков. Наиболее часто для таких измерений применяют двухслойные датчики, состоящие из нагреваемого потоком чувствительного элемента (термопары или термометра сопротивления), расположенного на толстой подложке с известными теплофизическими свойствами.

В зависимости от толщины чувствительного элемента имеются датчики измерения поверхностной температуры и датчики калориметрического типа.

При толщине чувствительного элемента [1]

$$h < h^* = 0,01 \sqrt{\lambda_2 c_2 \rho_2 \Delta t} / c_1 \rho_1, \quad (1)$$

где  $\Delta t$  — дискретность измерений температуры во времени;  $\lambda_j$ ,  $c_j$ ,  $\rho_j$  — теплопроводность, теплоемкость и плотность материала чувствительного элемента ( $j = 1$ ) и подложки ( $j = 2$ ), температура поверхности чувствительного элемента  $T_1$  отличается не более чем на 1 % от температуры поверхности подложки  $T_s$  в отсутствии чувствительного элемента. Следовательно, влиянием чувствительного элемента на нагрев подложки можно пренебречь. В этом случае предполагается, что чувствительный элемент измеряет  $T_s$ , а потлощенный чувствительным элементом поток  $q$  равен интенсивности теплоотвода в подложку [2]

$$q_{-t_k} = \frac{2 \sum_{i=1}^k (T_s(t_i) - T_s(t_{i-1})) (\sqrt{k-i+1} - \sqrt{k-i})}{\sqrt{\pi \lambda_2 c_2 \rho_2 \Delta t}}. \quad (2)$$

Как следует из (1), толщина платинового чувствительного элемента на кварцевой подложке при  $\Delta t = 0,1$  мс должна быть порядка 0,1 мкм. Технология изготовления датчиков с таким тонким чувствительным элементом достаточно сложна, что определяет их высокую стоимость. Из-за эрозии чувствительного элемента при нагреве (материал подложки — тепло- и электронизолятор, поэтому при измерениях на поверхности датчика достигаются высокие температуры) датчик выдерживает не более нескольких опытов [1] и требует специальной калибровки перед каждым опытом [3—5], так как термо-ЭДС тонкой пленочной термопары и температурная зависимость электросопротивления металлической пленки не совпадают с установленными для толстых проводников.

Толщина чувствительного элемента калориметрического датчика  $h \gg h_{**} = \sqrt{a_1 t^{**}}$  [1] ( $a_1$  — температуропроводность материала чувствительного элемента,  $t^{**}$  — общая продолжительность измерений), поэтому преиебрегают теплоотводом в подложку ( $q_{-} = 0$ ) и находят тепловой поток  $q = q_a$  ( $q_a$  — тепловой поток в адиабатических условиях на поверхности контакта с подложкой) по скорости изменения средней температуры чувствительного элемента  $\langle T_1(t) \rangle$  (именно эта температура регистриру-

ется при измерении термо-ЭДС или сопротивления):

$$q_a(i_h) = c_1 \rho_1 h \frac{\langle T_1(t_{h+1}) \rangle - \langle T_1(t_{h-1}) \rangle}{2 \Delta t}. \quad (3)$$

Калориметрические датчики с  $h = 50$  мкм [6] используются при измерении очень коротких ( $t^{**} < 50$  мкс) импульсов тепла высокой интенсивности ( $q > 10^6$  Вт/м<sup>2</sup>). При измерении тепловых потоков длительностью  $> 1$  мс необходимо использовать датчики с  $h \sim 1$  мм, что приводит к резкому увеличению погрешности измерений из-за малой амплитуды полезного сигнала.

Известны попытки измерения тепловых потоков длительностью 3–10 мс датчиками, занимающими промежуточное положение между первым и вторым типами датчиков, с чувствительным элементом толщиной  $\sim 10$  мкм [2, 7]. При этом пренебрегают изменением энталпии чувствительного элемента, и расчет теплового потока проводят по соотношению (2). Так, в [2] отмечалось, что использование микротермопар с  $h = 10$  мкм приводило к высоким погрешностям измерений из-за их высокой тепловой инерционности при измерении потоков длительностью  $\sim 3$  мс.

В [7] при измерении тепловых потоков длительностью до 10 мс от пламени пиротехнического воспламенителя использовался датчик с ленточной хромель-константановой термопарой инерционностью 10 мкс (толщина  $\sim 7$  мкм), расположенной на торце стержня из стали SS304 ( $\lambda_2 = 14,5$  Вт/(м · К),  $c_2 = 505$  Дж/(кг · К),  $\rho_2 = 7900$  кг/м<sup>3</sup> [8]). Погрешность восстановления теплового потока в работе [7] не оценивалась.

Применение датчиков теплового потока промежуточного типа ограничено отсутствием достаточно простого алгоритма обработки результатов прямых измерений, учитывающего как затраты тепла на нагрев чувствительного элемента, так и теплоотвод в подложку, и отсутствием анализа погрешности восстановления потока при использовании соотношений (2) и (3). Настоящая работа показывает возможность измерения тепловых потоков датчиками промежуточного типа в процессах воспламенения и горения с приемлемой точностью.

Оценим погрешность восстановления теплового потока при обработке измерений без учета изменения энталпии чувствительного элемента. Для этого графическую зависимость  $q-(t)$ , представленную на рис. 4 работы [7], аппроксимируем по методу наименьших квадратов функциональной зависимостью

$$q(t) = t^b \exp(a - ct), \quad (4)$$

где  $a = 4,9718$ ;  $b = 1,3308$ ;  $c = 1,1635$ ;  $[q]$  в МВт/м<sup>2</sup>;  $[t]$  в мс, и для моментов времени  $t_h = \Delta t k$  при  $\Delta t = 0,05$  мс численным решением задачи теплопроводности найдем температуру поверхности стального стержня. Полученные значения  $T$  вычислены с относительной погрешностью  $\leq 0,3\%$  и соответствовали измеренным в работе [7], но представленным графически.

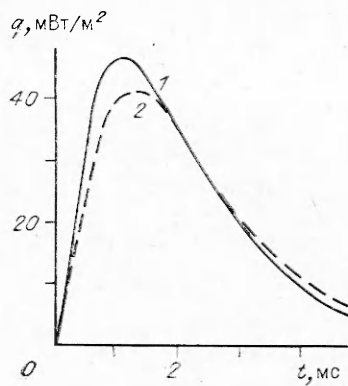
Для восстановления теплового потока, обеспечивающего экспериментально «измеренное» изменение температуры поверхности стального стержня, решим обратную задачу теплопроводности [1]

$$0 \leq x \leq h: c_1 \rho_1 \frac{\partial T_1}{\partial t} = \lambda_1 \frac{\partial^2 T_1}{\partial x^2}, \quad (5)$$

$$x \geq h: c_2 \rho_2 \frac{\partial T_2}{\partial t} = \lambda_2 \frac{\partial^2 T_2}{\partial x^2}, \quad (6)$$

с начальным условием  $t = 0$ :  $T_1 = T_2 = 0$   
и граничными условиями

$$x = 0: -\lambda_1 \frac{\partial T_1}{\partial x} = q(t),$$



Сопоставление результатов

обработки зависимости

$\langle T_1(t) \rangle$ .

1 — численное решение обратной задачи; 2 — приближенное решение по уравнению (1).

$$x = h: -\lambda_1 \frac{\partial T_1}{\partial t} = -\lambda_2 \frac{\partial T_2}{\partial x} = q_-(t), \quad T_1(h) = T_2(h), \\ x \rightarrow \infty: \quad T_2 = 0.$$

В моменты времени  $t_i = \Delta t i$  ( $i = 1, 2, 3, \dots, N$ ) известны значения среднеинтегральной (по глубине) температуры чувствительного элемента  $\langle T_1 \rangle_i$ .

Необходимо отметить некорректность постановки обратной задачи восстановления теплового потока. Для существования и единственности решения обратной задачи теплопроводности в общем случае необходимо, чтобы функции  $\langle T_1(t) \rangle$  и  $q(t)$  были бесконечно дифференцируемы, причем  $n$ -е производные  $q(t)$  по времени возрастают медленнее, чем  $2n!$  [9]. Поскольку значения  $\langle T_1(t) \rangle$  известны только в ограниченном числе точек  $N$ , предполагается равенство нулю производных при  $n > N$ . Следовательно, решая обратную задачу, можно восстановить достаточно гладкую функцию  $q(t)$ .

Скорость выделения тепла в процессах воспламенения и горения монотонно возрастает от нуля до некоторого максимального значения, а затем убывает. Это позволяет надеяться на то, что функция  $q(t)$  в достаточной степени гладкая для получения решения обратной задачи теплопроводности.

При распространении ударных волн тепловой поток изменяется ступенчато [1], а в процессах соприкосновения двух твердых тел с разной температурой при  $t = 0$  возрастает до бесконечности, а затем убывает. Поэтому решение обратной задачи теплопроводности существует лишь при  $t > 0$ , и наибольшие погрешности восстановления теплового потока будут наблюдаться при формальном распространении решения на отрезке времени от 0 до  $\Delta t$ . Кроме существования и единственности решения часто возникает вопрос об устойчивости обратного решения, который не рассматривался в данной работе.

На рисунке представлена зависимость  $q(t)$ , полученная методом численного решения обратной задачи с вычислением коэффициентов чувствительности. Возможность применения и погрешности, обусловленные применением разностных схем при решении обратных задач теплопроводности, исследованы достаточно подробно [10, 11], поэтому здесь не рассматриваются. Полученное решение удовлетворительно аппроксимируется уравнением (4) с коэффициентами  $a = 5,01088$ ,  $b = 1,3798$ ,  $c = 1,1960$ . Учет затрат тепла на нагрев чувствительного элемента приводит к увеличению амплитуды теплового потока на 15 % и уменьшает время достижения максимума потока на 20 %. Расхождение было бы значительно большим для датчика с подложкой из теплоизолятора.

Численное решение обратной задачи имеет один недостаток, существенно ограничивающий его применение. Для обеспечения восстановления теплового потока с относительной погрешностью 1—3 % необходим достаточно большой объем вычислений. В рассмотренном примере при использовании явной схемы прогонки второго порядка точности решение

задачи на языке Турбо-Бейсик на ПЭВМ IBM PC/AT требует не менее 1 ч. Большой объем вычислений делает необходимым поиск приближенных методов обработки экспериментальных данных.

Известно [12], что при воздействии на пластину толщиной  $h$  постоянного теплового потока  $q$  через некоторое характерное время  $t_x$  ( $Fo = a_1 t_x / h^2 > 0,5$ ) профиль температур в пластине описывается с относительной погрешностью не более 1 % квадратичной зависимостью

$$T_1(x) = \langle T_1 \rangle + (q - q_-) x^2 / (2\lambda_1 h) - qx/\lambda_1 + (2q + q_-)h/(6\lambda_1).$$

В этом случае  $\partial^2 T_1 / \partial x^2 = \text{const} = (q + q_-)/(\lambda_1 h)$ , и уравнение (5) может быть преобразовано к виду

$$c_1 \rho_1 h \frac{d \langle T_1 \rangle}{dt} = q(t) - q_-(t), \quad (7)$$

причем температура поверхности подложки  $T_s$  ниже средней температуры чувствительного элемента  $\langle T_1 \rangle$ :

$$T_s(t) = \langle T_1(t) \rangle - h(q + 2q_-)/(6\lambda_1). \quad (8)$$

Решение системы (6) — (8) имеет две асимптоты:  $h = 0$  — датчик измерения температуры поверхности и  $q_-(t) = 0$  — датчик калориметрического типа. При  $h \neq 0$  и  $q_- \neq 0$

$$q(t) = q_a(t) + q_-(t), \quad (9)$$

где  $q_a(t)$  вычисляется по соотношению (3), а  $q_-(t)$  — по уравнению (2) с учетом поправки (8).

Процедура вычислений теплового потока может быть представлена следующим образом. Первоначально в предположении  $T_s = \langle T_1 \rangle$  проводится оценка  $q_-(t)$  по (2), а по уравнениям (3), (9) оцениваются величины  $q_a(t)$  и  $q(t)$ . Затем уточняется температура поверхности подложки и повторяются вычисления по (2) и (9). Обычно после вторичного уточнения величина  $T_s$  становится постоянной и может быть использована для расчета  $q_-(t)$  и  $q(t)$ . Реализация этого алгоритма позволяет восстанавливать тепловой поток с относительной погрешностью  $\leq 3\%$  при значительно меньшем объеме вычислений, чем при численном решении обратной задачи.

Табл. 1 иллюстрирует точность приближенного решения обратной задачи. Сначала численным методом с относительной погрешностью 0,1 % получено решение прямой задачи о нагреве чувствительного элемента толщиной 60 мкм с  $\lambda_1 = 20$  Вт/(м · К),  $c_1 = 455$  Дж/(кг · К),  $\rho_1 = 8600$  кг/м<sup>3</sup> на керамической подложке с  $\lambda_2 = 0,50$  Вт/(м · К),  $c_2 = 1000$  Дж/(кг · К),  $\rho_2 = 1900$  кг/м<sup>3</sup> тепловым потоком  $q(t)$ , найденным в результате аппроксимации экспериментальных данных работы [7], и рассчитаны значения  $\langle T_1 \rangle$  в моменты времени  $t_i = \Delta t i$  при  $\Delta t = 0,05$  мс. Затем по предложенному алгоритму решена обратная задача.

Как видно из табл. 1, относительная погрешность восстановления теплового потока не превышает 3 %, хотя в рассмотренном случае использован относительно толстый чувствительный элемент на подложке с низкой тепловой активностью. Если при обработке экспериментальных данных пренебречь изменением энталпии чувствительного элемента, то расчетные значения теплового потока составят 10—20 % от истинного значения, а если пренебречь теплоотводом в подложку, то максимальная амплитуда потока уменьшится на ~10 %, и после пятой миллисекунды расчетное значение потока станет отрицательным.

Предложенный алгоритм позволяет восстанавливать тепловой поток и при его ступенчатом изменении. В этом случае наибольшая погрешность восстановления получается при  $i = 1$ , но она не превышает 5 %, а затем быстро убывает.

При проведении экспериментальных исследований температура чувствительного элемента измеряется с систематической и случайной погрешностями. Особенность решения обратных задач теплопроводности со-

Таблица 1

$t_i$ , мс	$q(t_i)$ , МВт/м <sup>2</sup>	Прямая задача			$q_i$ , МВт/м <sup>2</sup>
		$\langle T_1 \rangle_i$ , К	$T_{1,i}(x=0)$ , К	$q_{-i}$ , МВт/м <sup>2</sup>	
0,1	5,60	1,04	4,43	0,02	5,64
0,2	12,92	4,95	14,76	0,23	12,77
0,3	20,06	11,88	28,80	0,63	19,86
0,4	26,47	21,55	45,28	1,15	26,34
0,5	31,96	33,56	63,38	1,74	31,88
0,6	36,47	47,78	82,49	2,36	36,44
0,7	40,02	62,88	102,12	2,97	40,04
0,8	42,70	79,37	122,00	3,56	42,74
1,0	45,73	114,27	161,17	4,63	45,83
1,5	44,00	201,08	248,31	6,40	44,47
2,0	35,99	273,56	313,59	7,03	36,15
2,5	26,93	326,46	357,49	6,92	27,06
3,0	19,04	361,49	384,34	6,43	19,14
3,5	12,95	382,62	398,95	5,80	13,01
4,0	8,56	393,93	405,33	5,16	8,58
5,0	3,52	398,72	404,48	4,07	3,53

стоит в том, что случайная погрешность измерения температуры в момент времени  $t_k$  вызывает отклик в величине теплового потока при  $i > k - 1$ . Важно, чтобы погрешность  $\delta q_i$  быстро уменьшалась во времени. Табл. 2 иллюстрирует устойчивость предложенного алгоритма к случайной погрешности измерения температуры  $\delta T = 5$  К в момент времени  $t_k$ ,  $h = 50$  мкм. Видно, что при  $i > k + 3$   $\delta q_i < 0,01\delta q_{k-1}$ .

Таким образом, предложенный алгоритм обработки экспериментальных данных существенно изменяет технические требования к конструкции датчика. В нем могут быть использованы относительно толстый чувствительный элемент (например, ленточная термопара толщиной 50—100 мкм) и диэлектрическая подложка. Регистрацию сигнала с датчика целесообразно вести на цифровой прибор, сопряженный с ЭВМ (например, осциллограф С9-8, связанный по каналу общего пользования с ПЭВМ «Нейрон»).

При использовании цифровых приборов измеряемой амплитуде сигнала присваиваются дискретные значения. Так, для осциллографа С9-8 при чувствительности 50 мВ дискретность составляет 0,2 мВ. Если в датчике теплового потока чувствительный элемент — хромель-алюминевая термопара, то дискретность в измерении температуры составит  $\Delta T = 5$  К. Без наводок в измерительной цепи это приведет к погрешности восстановления теплового потока  $\delta q$ , которая для датчика калориметрического типа может быть оценена из соотношения [9]

$$\delta q = 0,707 c_1 \rho_1 h \Delta T / (2 \Delta t). \quad (10)$$

В случае  $h = 60$  мкм при  $\Delta t = 0,05$  мс погрешность составит 8,4 МВт/м<sup>2</sup>. Для датчиков измерения температуры поверхности и датчиков промежуточного типа величина погрешности не может быть вычислена аналитически, так как в расчете теплового потока используются

значения температур, измеренные ранее, и погрешность восстановления теплового потока уменьшается. Она может быть установлена следующим образом: полученные в

Таблица 2

$t_i$ , мс	$\langle T_1 \rangle_i$ , К	$q_i$ , МВт/м <sup>2</sup>	$Q_i$ , кДж/м <sup>2</sup>
0,05	0	0,00	0,00
0,10	0	10,01	0,25
0,15	5	0,67	0,52
0,20	0	-9,79	0,29
0,25	0	-0,35	0,04
0,30	0	-0,11	0,02
0,35	0	-0,06	0,02
0,04	0	-0,04	0,02

Таблица 3

$\Delta t$ , мс	$\Delta T$ , К	$n$	$\delta q$ , МВт/м	$\delta q_{\text{отн.}} \%$
0,05	0,01—0,4 *	1	0,11 *	0,86 *
	5	1	4,87	36
	2	1	1,80	17
	5	5	2,53	28
	2	5	0,72	9,6
0,1	0,01—0,4 *	1	0,14 *	0,85 *
	5	1	2,24	18,9
	2	1	0,90	7,1
	5	10	1,11	15
	2	10	0,32	4,4

\* Соответствует суммарной погрешности решения прямой и обратной задач.

результате обработки экспериментальных данных значения  $q(t_i)$  аппроксимируют некоторой функцией  $f(t)$ , характер которой определяется особенностями физико-химических процессов выделения тепла, затем, решая прямую задачу о нагреве чувствительного элемента, находящегося на подложке, определяют расчетные значения  $\langle T_1 \rangle_i$  в моменты времени  $t_i$ . Этим температурам присваивают дискретные значения и, решая обратную задачу, находят

$$\delta q = \sqrt{\frac{\sum_{i=1}^N (q(t_i) - f(t_i))^2}{N-1}} \quad (11)$$

В табл. 3 приведены результаты вычислений  $\delta q$  для рассмотренного ранее случая. Погрешность восстановления теплового потока тем меньше, чем больше  $\Delta t$  и меньше  $\Delta T$ , при этом она примерно в 2 раза меньше, чем дает оценка по уравнению (10). Следует отметить, что данное утверждение справедливо, если  $\Delta t$  значительно меньше характерного времени изменения теплового потока.

Уменьшить погрешность восстановления теплового потока можно несколькими способами: 1) увеличить, насколько это возможно, шаг по времени; 2) уменьшить  $\Delta T$ ; 3) уменьшить или сократить  $\Delta t$ , но температуру в момент  $t_i$  вычислять по результатам нескольких измерений.

Первый способ может применяться при измерении медленно меняющихся потоков, когда имеется возможность увеличения  $\Delta t$ . Для быстроизменяющихся потоков он не приемлем.

Второй метод наиболее эффективен, когда амплитуда шумов в измерительной цепи значительно ниже дискретности регистрации сигнала. В этом случае достаточно использовать предварительное усиление сигнала, либо повысить разрядность АЦП. Если же амплитуда шумов сравнима с дискретностью сигнала, целесообразно использовать третий способ. В этом случае уменьшают  $\Delta t$  в  $n$  раз, но при этом в расчете используют значения температур, полученные с прежним шагом по времени в результате усреднения  $n$  измерений, уменьшая в  $\sqrt{n}$  раз погрешность восстановления теплового потока.

Наибольший эффект дает разумное сочетание всех трех способов. Например, если перейти в рассмотренном примере от  $\Delta t = 0,05$  мс,  $\Delta T = 5$  К,  $n = 1$  к  $\Delta t = 0,1$  мс,  $\Delta T = 2$  К,  $n = 10$ , то погрешность восстановления теплового потока уменьшится на порядок (см. табл. 3).

Проведенный анализ позволил разработать конструкцию датчика и создать автоматизированную систему измерения импульсных потоков тепла в процессах зажигания и горения с регистрацией на осциллографы С9-8 и обработкой информации на ПЭВМ «Нейрон».

Осциллограф С9-8 записывает 2048 точек в случае использования одного канала регистрации (1024 точки при использовании двух каналов регистрации) с дискретностью по времени от 50 нс до 20 с. При измерении тепловых потоков осциллограф запускается с опережением по крайней мере в 148 точек (124 точки для двух каналов), что позволяет минимизировать погрешность регистрации начального уровня входного сигнала. Если в эксперименте необходимо оценить погрешность восстановления теплового потока, обусловленную алгоритмом обработки результатов и высокочастотными шумами в измерительной цепи, то опережение запуска увеличиваются на 100—200 точек. По расчетным значениям теплового потока для этого отрезка времени, когда истинное значение потока равно нулю, по соотношению (11) оценивают  $\delta q$ .

В процессе первичной обработки результатов прямых измерений после вычисления амплитуды начального сигнала проводится усреднение амплитуды по десяти точкам и вычисляется изменение амплитуды входного сигнала относительно начального уровня в 190 точках (для двух каналов регистрации — по 90 точек на канал), при этом дискретность по времени увеличивается в 10 раз, но уменьшается погрешность изменения температуры чувствительного элемента.

После первичной обработки результатов измерений вводится дополнительная информация (тип термопары, ее толщина и начальная температура, теплофизические свойства чувствительного элемента и подложки жестко «зашиты» в программу обработки) и проводится вычисление теплового потока и энергетической экспозиции. Кроме того, предусмотрена возможность вычисления температуры поверхности с известными теплофизическими свойствами.

При использовании автоматизированной системы погрешности измерений теплового потока с учетом шумов измерительной цепи устанавливаются достаточно просто: после подключения датчиков теплового потока и настройки осциллографа проводится опыт, в котором поверхность датчиков защищена от внешнего воздействия специальным экраном, после чего обрабатывается полученная информация. Интенсивность воздействия на датчики в опыте равна нулю, что позволяет оценивать составляющие погрешностей.

Практика измерений тепловых потоков показала, что даже при измерении тепловых потоков от инициаторов-капсюлей накольного типа «Жавело», имеющих характерное время изменения потока  $\sim 1$  мс (дискретность регистрации термо-ЭДС 5 мкс), суммарная погрешность восстановления потока составляет  $0,5\text{--}1 \text{ МВт}/\text{м}^2$ .

#### ЛИТЕРАТУРА

1. Эртель Ч. Измерения в гиперзвуковых ударных трубах. Физика быстропротекающих процессов/Пер. под ред. И. Ф. Златина.— М.: Мир, 1971.— Т. 3.— С. 103—208.
2. Денисаев А. А., Дубовик А. В., Боболов В. К. Исследование закономерностей диссилиативного разогрева в пастообразном ВВ при ударе // Химическая физика процессов горения и взрыва. Детонация: Материалы VI Всесоюз. семинара по горению и взрыву.— Черноголовка, 1980.— С. 39—43.
3. Линевег Ф. Измерение температур в технике: Справочник/Пер. с нем.— М., 1980.— 544 с.
4. Михеев В. Ф., Хлевной С. С., Худяков А. В. Тонкопленочный термометр сопротивления для регистрации температуры на поверхности пороха при быстром нагреве // ФГВ.— 1966.— 2, № 2.— С. 44—51.
5. Поляков Ю. А., Митькина Е. А. Тонкопленочный термометр сопротивления // Приборы и техника эксперимента.— 1961.— № 4.— С. 140—142.
6. Rose P. H. Development of the calorimeter heat transfer gauge for use in shock tubes // Rev. Sci. Instr.— 1958.— 29.— Р. 557.
7. Evans N. A., Durand N. A. Heat transfer characteristics of igniter output plumes // Proc. 14th Int. Pyrotechnics Seminar. Chennal Island (UK) 18—22 Sept., 1989.— Р. 173—183.
8. Чиркин В. С. Теплофизические свойства материалов ядерной техники: Справочник.— М.: Атомиздат, 1968.— 484 с.

9. Бек Дж., Блакуэлл Б., Сент-Клер Ч. мл. Некорректные обратные задачи теплопроводности/Пер. с англ.— М.: Мир, 1989.— 312 с.
10. Алифанов О. М. Обратные задачи теплопроводности.— М.: Машиностроение, 1988.— 280 с.
11. Коздoba Л. А., Круковский П. Г. Методы решения обратных задач теплопереноса.— Кнев: Наук. думка, 1982.— 360 с.
12. Шехович А. И., Жидких В. М. Расчеты теплового режима твердых тел.— Л.: Энергия, 1976.— 352 с.

г. Сергиев Посад

Поступила в редакцию 8/I 1992,  
после доработки — 30/IX 1992

УДК 541.126

*И. Н. Дорожевец, Е. П. Костогоров*

## ТЕПЛОВОЙ ВЗРЫВ В СВС-СИСТЕМАХ С УЧЕТОМ ХИМИЧЕСКОГО ГАЗОВОГО ТРАНСПОРТА

На основании модели реагирования компонентов, позволяющей учитывать изменение поверхности контакта, анализируется влияние на температуру воспламенения переноса одного из компонентов к поверхности другого. Найдено, что химический газовый транспорт переводит процесс реагирования от воспламенения в центре объема к зажиганию от стенки реактора. При этом в реакторе существуют две области, разграниченные кривой равновесных концентраций соединения-переносчика транспортируемого компонента. В одной из областей образуется и накапливается соединение-переносчик, в другой выделяется этот компонент на свободной поверхности другого. Замкнутость пространства реактора и диффузия из одной области в другую позволяют создать сверхравновесные концентрации соединения-переносчика в области осаждения.

В последнее время появились работы, посвященные получению промышленных материалов в условиях теплового взрыва [1, 2]. Выбор такого способа имеет ряд преимуществ перед традиционным методом проведения синтеза соединений в процессе самораспространяющегося высокотемпературного синтеза (СВС). Главное из них — большая управляемость процессом реагирования компонентов, которая осуществляется регулированием подачи тепла в реакционный объем. Теоретические основы теплового взрыва в условиях программируенного нагрева и использование полученных данных как методологической базы для изучения кинетики химических реакций анализируются в работе [3].

Тепловой взрыв по своей сути охватывает не только объемное реагирование при равномерном распределении температуры по реакционному объему. В зависимости от параметров процесса возможны зажигание от стенок, распространение волны горения от стенок к центру, воспламенение в центре реакционного объема при значительном повышении начальной температуры за счет теплопередачи. Для выбранной реакционной смеси переход от одного режима к другому часто удается осуществить изменением темпа нагрева или увеличением размера реакционного объема [4].

Другим способом управления режимами теплового взрыва может стать химический транспорт, способный обеспечить перенос одного из реагентов к поверхности другого. Задача о влиянии активных химических добавок на горение гетерогенных конденсированных систем рассмотрена в работе [5]. Возможность переноса была связана с образованием газообразного соединения-переносчика, «выхода» его концентрации на равновесную кривую и дальнейший распад на газ-переносчик и переносимый металл на свободной поверхности другого компонента.

Важное отличие рассматриваемого в настоящей работе теплового взрыва от горения заключается в замкнутости реакционного объема.

© И. Н. Дорожевец, Е. П. Костогоров, 1993.